



تأثیر پارامترهای هندسی تیزک‌های مختلف بر نیرو و زمان بحرانی منیپولیشن میکرو/نانوذرات با استفاده از روش آنالیز حساسیت ای-فست

محرم حبیب نژاد کورایم^{*}, سپهر دهقانی قهنویه^۲, مهدی قاسمی^۳, معین طاهری^۴

۱- استاد، مهندسی مکانیک، دانشگاه علم و صنعت ایران، تهران

۲- دانشجوی کارشناسی ارشد، مهندسی مکانیک، دانشگاه علم و صنعت ایران، تهران

۳- دانشجوی کارشناسی ارشد، مهندسی مکانیک، دانشگاه علم و صنعت ایران، تهران

۴- دانشجوی دکترا، مهندسی مکانیک، دانشگاه علم و صنعت ایران، تهران

* تهران، صندوق پستی 16846-13114

hkorayem@iust.ac.ir

چکیده

در منیپولیشن نانو ذرات با میکروسکوپ نیروی اتمی، به منظور مدل‌سازی دقیق دینامیک منیپولیشن و جلوگیری از آسیب به نانو ذره، محاسبه دقیق نیروی بحرانی امری ضروری است. برای مدل‌سازی دینامیکی دقیق و محاسبه‌ی نیروی وارد بر نانوذره نیز نیاز به مدل‌سازی سختی در انواع تیزک‌ها، شناخت پارامترهای هندسی حساس مؤثر بر سختی تیزک‌ها و پارامترهای حساس مؤثر بر زمان و نیروی بحرانی است. از این‌رو در این مقاله ابتدا به صورت مجزا به دو قسمت تقسیم شده است: قسمت اول مثلثی و قسمت دوم مربوط مستطیلی است. سپس سختی تیزک وی-شکل، این تیزک به دو قسمت تقسیم شده است: برای مدل‌سازی سختی تیزک خیزی نیز از همین روش استفاده شده و تیزک به دو قسمت مثلثی و مستطیلی تقسیم شده و سختی نهایی به دست آورده شده است. با توجه به این که بررسی پارامترهای اثرگذار بر سختی تیزک و زمان و نیروی بحرانی منیپولیشن در منیپولیشن ذرات زیستی اهمیت بالایی دارد، لذا با استفاده از روش آنالیز حساسیت ای-فست به انتخاب مناسب نوع تیزک و پارامترهای آن پرداخته شده است. در انتهای در این مقاله نشان داده شده است که تیزک خیزی برای جایه‌جایی ذرات بیولوژیکی مناسب‌تر است.

اطلاعات مقاله

مقاله پژوهشی کامل

دربافت: ۱۹ شهریور ۱۳۹۳

پذیرش: ۰۶ آبان ۱۳۹۳

ارائه در سایت: ۲۳ آذر ۱۳۹۳

کلید واژگان:

تیزک

منیپولیشن

نیرو و زمان بحرانی

ای-فست

Effect of different geometrical parameters of atomic force microscope cantilevers in critical force and time based on manipulation by applying EFAST sensitivity analyses

Moharam Habibnejad Korayem*, Sepehr Dehghani Ghahnaviyeh, Mehdi Ghasemi, Moein Taheri

Department of Mechanical Engineering, Iran University of Science and Technology, Tehran, Iran
*P.O. Box 16846-13114, Tehran, Iran, hkorayem@iust.ac.ir

ARTICLE INFORMATION

Original Research Paper

Received 10 September 2014

Accepted 28 October 2014

Available Online 14 December 2014

Keywords:

Cantilever

Manipulation

Critical force and time

EFAST

ABSTRACT

In nanoparticles manipulation with atomic force microscope, for modeling exact manipulation dynamics and prevention of damaging nanoparticles, it is necessary to compute critical force. For modeling dynamics and computing critical force that apply to nanoparticles it is necessary to model cantilever stiffness and determine sensitive geometrical parameters which effect cantilever stiffness and critical force. In this paper, first, two different kinds of cantilevers, V-shaped and dagger cantilevers are investigated. For modeling V-shaped cantilever stiffness this cantilever is divided into two parts, a triangular head section and two slanted rectangular beams. After that, the stiffness of each part is modeled separately and the total stiffness is computed. For modeling dagger cantilever stiffness the same method is used and the cantilever is divided into two parts, a triangular head section and a rectangular beam and then the total stiffness is computed. Cantilevers stiffness and critical force in manipulation of biological particles and non-biological particles are very important, hence EFAST sensitivity analyses for selecting suitable cantilever and its parameters is used. In this paper it has been shown that the dagger-shaped cantilever is more suitable for the manipulation of biological particles.

به دقت بیشتر در جایه‌جایی میکرو/نانوذرات توسط میکروسکوپ نیروی اتمی و

خودکار نمودن این فرآیند انجام شده است. تیزک مهم‌ترین قسمت این

دستگاه است که در مدل‌سازی دینامیک منیپولیشن نانوذرات مورد بررسی

قابلیت میکروسکوپ نیروی اتمی در منیپولیشن میکرو/نانوذرات در سال‌های

آخر بسیار توجه قرار گرفته و تحقیقات گوناگونی با اهداف دست‌یابی

Please cite this article using:

M. Habibnejad Korayem, S. Dehghani Ghahnaviyeh, M. Ghasemi, M. Taheri, Effect of different geometrical parameters of atomic force microscope cantilevers in critical force and time based on manipulation by applying EFAST sensitivity analyses, *Modares Mechanical Engineering*, Vol. 15, No. 1, pp. 310-316, 2015 (In Persian)

برای ارجاع به این مقاله از عبارت ذیل استفاده نمایید:

www.mme.ir

نیز تحقیقاتی در زمینه‌ی محاسبه‌ی سختی‌های انواع مختلف تیرک‌ها انجام داده‌اند که این مطالعات برای آنالیز حساسیت دوبعدی دینامیک منیپولیشن قابل استفاده نیست [8].

بنابراین محاسبه‌ی سختی انواع مختلف تیرک‌ها به منظور شناخت پارامترهای هندسی تأثیرگذار تیرک بر دینامیک منیپولیشن امری ضروری است. لذا در این مقاله ابتدا دو نوع متدال از تیرک‌ها که عبارت‌اند از تیرک خنجری و وی-شکل معروف شده و سختی‌های آن‌ها برای استفاده در مدل‌سازی دینامیک منیپولیشن محاسبه شده است. هر کدام از این تیرک‌ها در فضای دوبعدی دارای سه سختی هستند که به طور مجزا به آن‌ها برداخته شده است.

روش مورد استفاده در این مقاله برای به دست آوردن سختی‌های مربوط به تیرک‌ها در هر جهت دلخواه روش نیرو-جایه‌جایی است. در این روش برای به دست آوردن سختی در یک جهت خاص یک نیرو در آن جهت به تیرک وارد شده، سپس جایه‌جایی ناشی از آن نیرو در آن جهت حساب شده و با تقسیم مقدار نیروی وارد شده بر میزان جایه‌جایی اندازه‌گیری شده مقدار سختی در آن جهت به دست می‌آید.

پس از شناخت تیرک‌ها و محاسبه‌ی سختی هر کدام به معرفی روش آنالیز حساسیت ای-فست پرداخته شده است. سپس با استفاده از این روش آنالیز حساسیت به بررسی پارامترهای هندسی تیرک بر نیرو و زمان بحرانی منیپولیشن پرداخته شده و تأثیر این پارامترها با استفاده از نمودارهای رسم شده بررسی شده است. در انتها نتایج آنالیز حساسیت به دست آمده با نتایج موجود برای تیرک مستطیلی مقایسه شده و صحت نتایج مورد تأیید قرار گرفته است.

2- بررسی سختی تیرک وی-شکل

برای مدل‌سازی سختی تیرک وی-شکل، این تیرک به دو قسمت مثلثی و مستطیلی مورب تقسیم شده و سختی هر قسمت مدل شده و با استفاده از اصل برهم‌نهی سختی نهایی محاسبه شده است. مدلی که در این مقاله برای مدل‌سازی سختی تیرک وی-شکل ارائه شده برگرفته از مدل سابر [9] است که در آن برای محاسبه‌ی سختی عمودی طبق رابطه (1) داریم:

$$\begin{aligned} K_Z = & \left[\frac{6}{E \sin \alpha t^3} \left(\frac{w}{\tan \alpha} - d \right)^2 + \right. \\ & d \left(\frac{w}{\tan \alpha} - d \right) \left(\ln \frac{d \tan \alpha}{w} - 1 \right) + \frac{w}{\tan \alpha} d \ln \frac{w}{d \tan \alpha} + \\ & \left. \frac{((L \tan \alpha - w) \cot \alpha)^2}{E w \cos^3 \alpha t^3} \frac{2(L \tan \alpha - w) \cot \alpha}{\cos \alpha} + \right. \\ & 3(w \cos \alpha \cot \alpha - d \cos \alpha - r \sin \alpha) + \\ & 3 \frac{(L \tan \alpha - w) \cot \alpha (1+v)}{E w \cos^2 \alpha t^3} (w \cot \alpha - d + r \cot \alpha) \\ & \left. (w \cot \alpha - d) \right]^{-1} \end{aligned} \quad (1)$$

که در آن t ضخامت تیرک، α نصف زاویه‌ی بین دو بازو، w عرض بازوها در حالت موازی با لبه‌ی مبنای (بر لبه‌ی بازو عمود نیست) و L طول تیرک است که به طور مستقیم از لبه‌ی مبنای به سمت رأس اندازه‌گیری می‌شود و موازی بازو نیست. برای محاسبه‌ی نیز طبق رابطه (2) داریم:

$$r = \frac{L_{II} \tan \alpha + (w \cos \alpha - d \sin \alpha)(1-v) \cos \alpha}{2 - (1-v) \cos^2 \alpha} \quad (2)$$

قرار می‌گیرد و نیرو و زمان بحرانی منیپولیشن و استگی زیادی به آن دارد. در فرآیند منیپولیشن نیروی ناشی از جایه‌جایی تیرک از طریق یک سوزن که در نزدیکی سر تیرک است، به نانوذره‌ی هدف منتقل شده و باعث حرکت آن می‌شود. در مدل‌سازی دینامیک منیپولیشن نانوذرات، می‌توان از روی تغییر شکل تیرک، نیروها را در راستاهای مختلف به دست آورد. در غیر این صورت بدون داشتن نیرو، مدل‌سازی دینامیکی بی‌معنی خواهد بود. تیرک‌ها در انواع مختلفی استفاده می‌شوند که ساده‌ترین آن‌ها تیرک مستطیلی است. ولی امروزه از دو نوع متدال تیرک‌ها که عبارت‌اند از تیرک خنجری¹ و وی-شکل² استفاده می‌شود.

برای بررسی دو نوع اصلی تیرک‌ها و همچنین مدل‌سازی دینامیک منیپولیشن و آنالیز حساسیت آن نیاز به بررسی تحقیقات انجام شده در این زمینه است. یانگ و همکارانش به آنالیز سختی دیزموزوم‌ها³ با استفاده از میکروسکوپ نیروی اتمی بر پایه‌ی نانومنیپولیشن پرداختند [1]. دیزموزوم‌ها اتصالات سلول-سلول هستند که استحکام مکانیکی برای سلول‌ها ایجاد کرده و موجب حفظ یکپارچگی بافت در پوست و قلب حیوانات می‌گردد. هرتل و همکارانش به منیپولیشن نانو لوله‌ای منفرد کربنی و بره کش آن‌ها با سطوح پرداختند و نشان دادند که نوک یک میکروسکوپ نیروی اتمی می‌تواند برای کنترل شکل و موقعیت نانو لوله‌ای منفرد کربنی چند جداره‌ی پراکنده بر روی یک سطح مورد استفاده قرار گیرد [2]. آن‌ها به طور خاص توانستند نانو لوله‌ها را تحت خمش، راست شدن، انتقال، چرخش و در شرایط خاص قطع شدن، قرار دهند.

منیپولیشن نانوذرات استوانه‌ای فرآیندی پیچیده است که جهت هدفمند نمودن طراحی و اجرای آن نیاز به مدل‌سازی دقیق و شناسایی رفتار مدل و پارامترهای مؤثر در آن است. در زمینه‌ی منیپولیشن نانوذرات با استفاده از میکروسکوپ نیروی اتمی، بررسی مدل‌های تماسی، انتخاب مدل اصطکاکی مناسب و همچنین بررسی نوع تیرک مورد گرفته در این زمینه بیشتر می‌باشدند. از این‌رو کارهای آنالیز حساسیت صورت گرفته در این زمینه بیشتر بر این سه موضوع مرکز است. کورایم و همکارانش به بررسی آنالیز حساسیت مدل‌های اصطکاکی اج-کی⁴ و لاگره⁵ پرداخته و تأثیر آن‌ها بر منیپولیشن نانوذرات کروی طلا را به دست آورده‌اند [3]. آن‌ها به این نتیجه رسیدند که استفاده از مدل‌های دقیق‌تر اصطکاکی تأثیر بسیاری در شیوه‌سازی دقیق منیپولیشن نانوذرات طلا خواهد داشت. کورایم و همکارانش همچنین به بررسی آنالیز حساسیت مدل اصطکاکی لاغره در منیپولیشن دو بعدی با استفاده از روش آنالیز حساسیت سوپل پرداخته‌اند [4]. آن‌ها تأثیر ابعادی تیرک‌های مستطیلی در نیروی بحرانی منیپولیشن را بررسی کرده و ضخامت تیرک مستطیلی را به عنوان تأثیرگذارترین پارامتر ابعادی در نیروی بحرانی منیپولیشن معرفی نموده‌اند. کورایم و ذاکری نیز به بررسی تیرک‌های وی-شکل در منیپولیشن ذرات کروی طلا پرداخته‌اند، ولی در مطالعات آن‌ها تأثیر پارامترهای ابعادی تیرک بر منیپولیشن مورد توجه قرار نگرفته است [5]. کورایم و طاهری به بررسی مدل‌های مختلف تماسی در منیپولیشن نانوذرات توسط میکروسکوپ نیروی اتمی پرداخته و این مدل‌سازی‌ها را در محیط‌های زیستی برای ذرات مختلف زیستی توسعه داده‌اند [6]. همچنین کورایم و طاهری به بررسی مدل‌های مختلف تماسی برای ذرات زیستی با هندسه‌های مختلف بر پایه‌ی منیپولیشن پرداخته‌اند [7]. کورایم و دائی نبی

1- Dagger

2- V-shaped

3- Desmosomes

4- HK

5- LuGre

که در معادلات فوق با توجه به شکل ۲، معادلات (10-۸) را داریم:

$$L_I = \frac{W}{\tan \alpha} \quad (8)$$

$$L_{II} = (L \tan \alpha - w) \cot \alpha \quad (9)$$

$$w' = w \cos \alpha \quad (10)$$

در مورد خیز تیر باشد علاوه بر اضافه کردن خیز دو تیر در هر دو قسمت، چون تیر مثلثی را یکسر گیردار فرض کردیم، در هر جهت برای به دست آوردن خیز کل، شبک انتهای مستطیلی را حساب کرده و سپس در فاصله‌ی سوزن تا سر تیر مستطیلی ضرب کرده تا خیز ناشی از تغییر زاویه‌ی تکیه‌گاه تیر مثلثی که در اصل یکسر گیردار نیست، نیز حساب شده باشد و از جمع هر سه این‌ها خیز کلی مطابق معادله‌ی (11) به دست می‌آید.

$$K_z = F_z \left[Z_I + Z_{II} + \theta_{II} \left(\frac{w'}{\sin \alpha} - d \right) \right]^{-1} \quad (11)$$

لذا سختی عمودی به صورت رابطه‌ی (12) محاسبه خواهد شد:

$$\begin{aligned} K_z = F_z & \left[\frac{6L_I}{Ewt^3} \left[\frac{(L_I - d)^2}{2} + d(L_I - d) \left(\ln \frac{d}{L_I} - 1 \right) + L_I d \ln \frac{L_I}{d} \right] \right. \\ & \left. + \frac{4L_{II}^3}{Ewt^3} + \frac{6(L_I - d)L_{II}}{Ewt^3} \right. \\ & \left. + \frac{6L_{II}^2}{Ewt^3} + \frac{12(L_I - d)L_{II}}{Ewt^3} (L_I - d) \right]^{-1} \end{aligned} \quad (12)$$

سختی پیچشی و جانبی تیرک خنجری نیز مشابه سختی عمودی محاسبه شده که روابط نهایی آن به ترتیب در معادلات (13) و (14) ذکر شده است.

سختی پیچشی:

$$K_\theta = \left(\frac{3(1+v)}{Et^3 \tan \alpha} \log \frac{L_I}{d} + \frac{6L_{II}(1+v)}{Ewt^3} \right)^{-1} \quad (13)$$

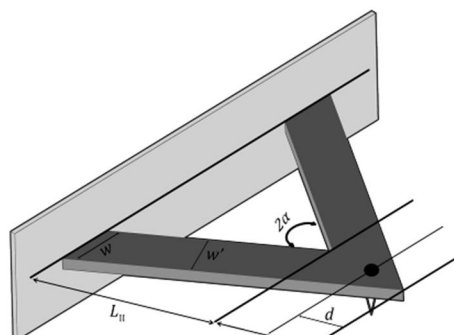
$$\begin{aligned} K_y = & \left(\frac{3}{2tE \tan^3 \alpha} \left(-\ln d - \frac{d}{2d} \right) + c_1 d + c_2 + \frac{4L_{II}^3}{Ew^3 t} \right. \\ & \left. + \frac{6(L_I - d)L_{II}}{Ew^3 t} + (L_I - d) \left(\frac{L_{II}^2}{2EI} + \frac{(L_I - d)L_{II}}{EI} \right) \right)^{-1} \end{aligned} \quad (14)$$

$$c_1 = \frac{-3F}{2tE \tan^3 \alpha} \left(\frac{-1}{L_I} + \frac{d}{2L_I^2} \right) \quad (15)$$

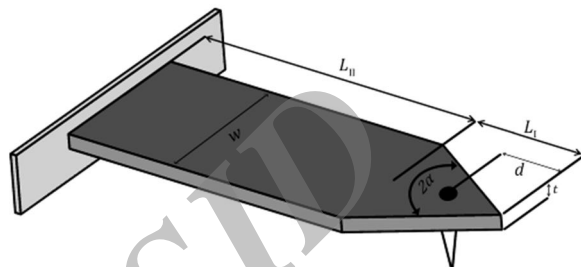
$$c_2 = \frac{-3F}{2tE \tan^3 \alpha} \left(-\ln L_I - \frac{d}{2L_I} \right) + \frac{3FL_I}{2tE \tan^3 \alpha} \left(\frac{-1}{L_I} + \frac{d}{2L_I^2} \right) \quad (16)$$

۳- آنالیز حساسیت

آنالیز حساسیت عدم قطعیت در خروجی یک مدل را بررسی می‌کند و بیان می‌کند که این عدم قطعیت در خروجی چگونه به عدم قطعیت در ورودی مرتبط می‌شود [10]. این روش برای شناسایی پارامترهای مؤثر و پارامترهای غیر مؤثر در خروجی مدل مورداستفاده قرار می‌گیرد. مدل‌های آنالیز حساسیت در دو نوع محلی و عمومی طبقه‌بندی می‌شوند [11]. روش‌های عمومی نه تنها حساسیت مختص به فاکتورها (شخص حساسیت اصلی) را حساب می‌کنند، بلکه قادر به محاسبه‌ی برهم‌کنش بین فاکتورها نیز می‌باشند. از بین روش‌های عمومی روش‌های بر پایه‌ی واریانس بیشتر مورد توجه قرار گرفته‌اند که امروزه به صورت گسترده از این روش‌ها در زمینه‌های مختلفی برای بررسی مدل‌سازی‌ها استفاده می‌شود. روش‌های آنالیز حساسیت سوبیل و ای-فست از جمله‌ی این روش‌ها می‌باشند که مستقل



شکل ۱ تیرک وی-شکل



شکل ۲ تیرک خنجری شکل

معادله‌ی ۱ بیانگر سختی عمودی تیرک وی-شکل است که به پارامترهای هندسی تیرک وابسته است. سختی پیچشی نیز توسط هازل و همکارانش [5] مدل شده است. معادله‌ی (3) بیانگر سختی پیچشی است، در این حالت نیز از اصل برهمنهی برای به محاسبه‌ی سختی استفاده شده است، با این تفاوت که به جای وارد کردن نیرو به تیرک، گشتاور وارد می‌شود و به جای اندازه‌گیری طول، تغییر زاویه‌ی اندازه‌گیری می‌شود.

$$K_\theta = \frac{Et^3}{3(1+v)} \left(\frac{1}{\tan \alpha} \log \frac{w'}{ds \sin \alpha} + \frac{L_{II} \cos \alpha}{w'} - \frac{3 \sin 2\alpha}{8} \right)^{-1} \quad (3)$$

برای به دست آوردن سختی جانبی نیز از مدل تحلیلی تیموشونکو استفاده می‌شود. معادله‌ی (4) مشخص کننده‌ی سختی جانبی تیرک وی-شکل است.

$$K_y = Et(\alpha - \sin \alpha \cos \alpha) \left[\ln \left(\frac{L}{d} \right) \right]^{-1} \quad (4)$$

که در آن $\alpha = \tan^{-1} \left(\frac{w}{L_I} \right)$ است.

بعد و پارامترهای هندسی تیرک در شکل ۱ نشان داده شده‌اند.

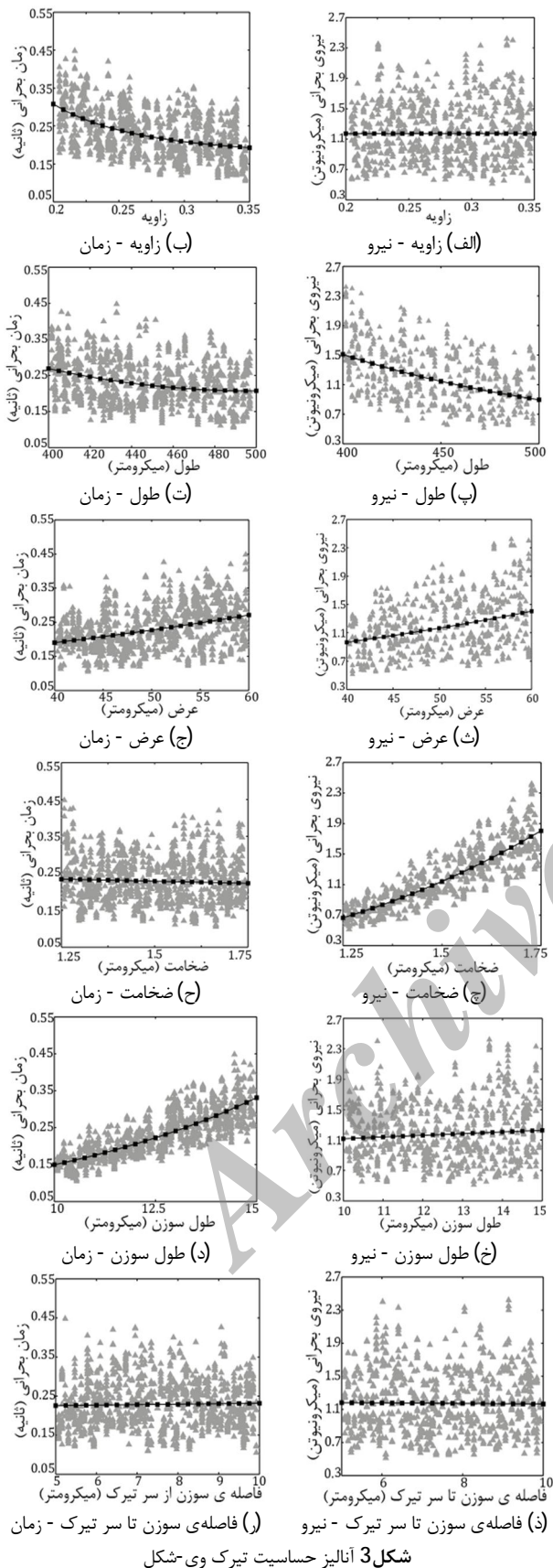
۲- بررسی سختی تیرک خنجری

برای محاسبه‌ی سختی عمودی تیرک خنجری، تیر را به دو قسمت مستطیلی و مثلثی تقسیم می‌کنیم و برای به دست آوردن خیز قسمت مستطیلی از معادلات مربوط به تیر مستطیلی استفاده کرده و خیز را در راستای عمودی محاسبه می‌نماییم (معادله‌ی 5). در قسمت مثلثی هم می‌توان معادلات خیز (معادله‌ی 6) و به تبع آن شبک (معادله‌ی 7) را استخراج نمود.

$$Z_I = \frac{6F_z L_I}{Ewt^3} \left[\frac{(L_I - d)^2}{2} + d(L_I - d) \left(\ln \frac{d}{L_I} - 1 \right) + L_I d \ln \frac{L_I}{d} \right] \quad (5)$$

$$Z_{II} = \frac{F_z L_{II}^2}{Ewt^3 \cos^2 \alpha} \left[\frac{2L_{II}}{\cos \alpha} + 3(w' \cot \alpha - d \cos \alpha - r \sin \alpha) \right] \quad (6)$$

$$\theta_{II} = \frac{3F_z L_{II}(1+v)}{Ewt^3 \cos \alpha} \left(\frac{w'}{\sin \alpha} - d + r \cot \alpha \right) \quad (7)$$



شکل ۳ آنالیز حساسیت تیرک وی-شکل

همان‌گونه که در شکل (۳-الف) و (۳-ب) ملاحظه می‌گردد، با افزایش زاویه‌ی تیرک وی-شکل، نیروی بحرانی منیپولیشن تغییرات چندانی نمی‌کند و بیانگر تأثیر بسیار کم این پارامتر بر نیروی بحرانی منیپولیشن است. در حالی که

از هرگونه فرض (خطی و یکنواخت) بین ورودی‌ها و خروجی‌ها (های) است. روش ای-فست توسط کوکیر و همکارانش [12] ارائه شده و سالتی و همکارانش [13]. این روش را بهبود داده‌اند. این روش برخلاف روش سوبیل که برای به دست آوردن واریانس کلی و واریانس‌های جزئی از انتگرال‌های چندبعدی استفاده می‌کرد، با تعریف تابع انتقال، انتگرال‌های چندبعدی را به انتگرال‌های تکبعدی تبدیل کرده و موجب ساده‌سازی روند محاسبه‌ی شاخص‌های حساسیت می‌گردد.

روش ای-فست فضای n بعدی فاکتورهای ورودی (K^n) را با استفاده از منحنی جستجوی تعریف شده با مجموعه‌ای از معادلات پارامتریک، کاوش می‌کند. طبق رابطه (17) (داریم):

$$x_i = \frac{1}{2} + \frac{1}{\pi} \arcsin(\sin(\omega_i s + \varphi_i)) \quad (17)$$

که $(\omega_i)_{i=1,2,\dots,n}$ فرکانس مربوط به فاکتور x_i ، s متغیری است که در بازه $-\pi$ تا π تغییر می‌کند و φ_i نقطه‌ی شروع منحنی را مشخص می‌کند. واریانس خروجی مدل با استفاده از آنالیز فوریه تقریب زده می‌شود. طبق رابطه (18) (داریم):

$$V(Y) = \frac{1}{2\pi} \int_{-\pi}^{\pi} f^2(s) ds - \left[\frac{1}{2\pi} \int_{-\pi}^{\pi} f(s) ds \right]^2 \approx \sum_{j=-\infty}^{\infty} (A_j^2 + B_j^2) - (A_0^2 + B_0^2) \approx 2 \sum_{j=1}^N (A_j^2 + B_j^2) \quad (18)$$

که G_i ، $f(s) = f(G_1(\sin(\omega_1 s)), G_2(\sin(\omega_2 s)), \dots, G_N(\sin(\omega_N s)))$ انتقال، A_j و B_j ضرایب فوریه می‌باشند.

$$(A_j = \frac{1}{2\pi} \int_{-\pi}^{\pi} f(s) \cos(j s) ds, B_j = \frac{1}{2\pi} \int_{-\pi}^{\pi} f(s) \sin(j s) ds)$$

با محاسبه‌ی ضرایب فوریه برای فرکانس پایه ω و هارمونیک‌های بالاتر آن $p\omega_i$ می‌توان واریانس جزئی مرتبه‌ی اول ورودی x_i را به دست آورد. طبق رابطه (19) (داریم):

$$V_i = \sum_{p \in Z^0} (A_{p\omega_i}^2 + B_{p\omega_i}^2) = 2 \sum_{p=1}^{\infty} (A_{p\omega_i}^2 + B_{p\omega_i}^2) \quad (19)$$

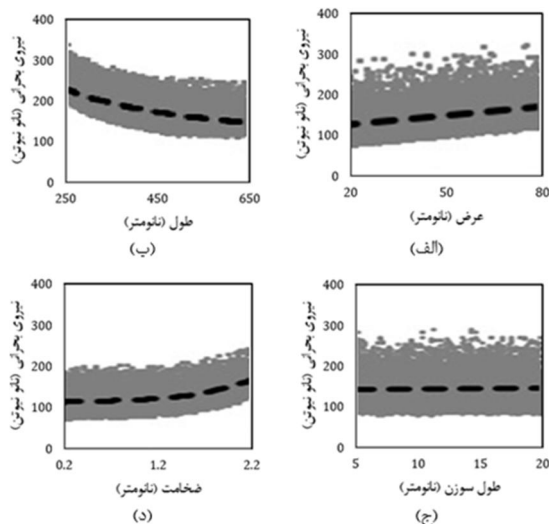
برای محاسبه‌ی شاخص حساسیت اصلی از نسبت واریانس جزئی مرتبه‌ی اول به واریانس کلی استفاده می‌کنیم. شاخص حساسیت کلی نیز از معادله‌ی (20) به دست می‌آید:

$$ST_i = 1 - \frac{V_i}{V} \quad (20)$$

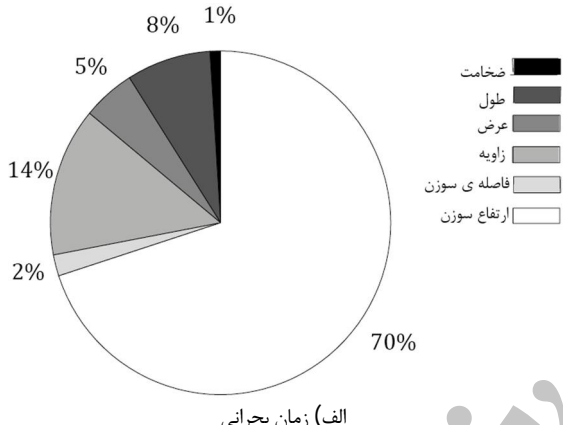
واریانس V از تغییر همه‌ی پارامترها، به جز تغییر پارامتر x_i به دست می‌آید.

۱-۳ آنالیز حساسیت تیرک وی-شکل

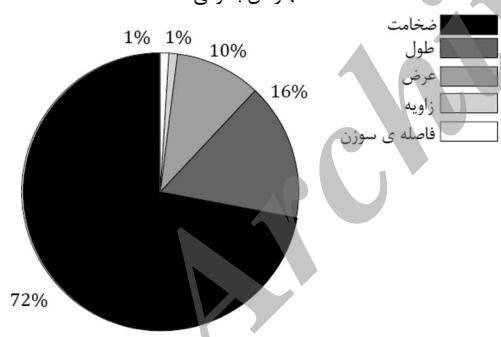
در این بخش به آنالیز حساسیت تأثیر پارامترهای مختلف بر زمان و نیروی بحرانی برای تیرک وی-شکل پرداخته شده و نتایج حاصل، با نتایج موجود برای تیرک‌های مستطیلی [4] مقایسه شده و صحت نتایج برسی شده است. نمودارها در این قسمت با استفاده از معادلات سختی به دست آورده شده در این مقاله و معادلات دینامیکی موجود در مراجع و الگوریتم روش آنالیز حساسیت ای-فست به دست آورده شده‌اند. این پارامترها عبارت‌اند از طول تیرک (L)، عرض تیرک (W)، ضخامت تیرک (t)، ارتفاع سوزن (h)، زاویه‌ی تیرک (α) و فاصله‌ی سوزن از انتهای تیرک (d). در نمودارهای شکل ۳ تأثیر هر کدام از این پارامترها را بر زمان و نیروی بحرانی می‌توان مشاهده کرد.



شکل 4 تأثیر پارامترهای ابعادی تیرک مستطیلی بر نیروی بحرانی منیپولیشن [4]

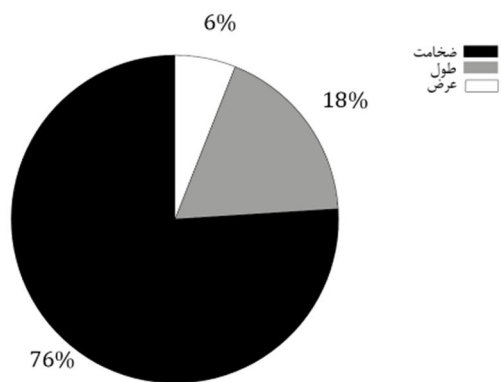


الف) زمان بحرانی



ب) نیروی بحرانی

شکل 5 تأثیر پارامترهای تیرک وی-شکل در زمان و نیروی بحرانی



شکل 6 تأثیر پارامترهای ابعادی تیرک مستطیلی بر نیروی بحرانی منیپولیشن [4]

افزایش زاویه‌ی تیرک باعث کاهش نسبتاً زیاد زمان بحرانی منیپولیشن می‌شود و بیانگر تأثیر بالای این پارامتر بر زمان بحرانی منیپولیشن است.

در شکل (3-ب) و (3-ت) ملاحظه می‌گردد که با افزایش طول تیرک وی-شکل، نیرو و زمان بحرانی منیپولیشن به طور خطی کاهش می‌یابند. در شکل (3-ث) و (3-ج) نشان داده شده است که با افزایش عرض تیرک وی-

شکل، نیرو و زمان بحرانی منیپولیشن به طور خطی افزایش می‌یابند.

در شکل (3-ج) و (3-ح) ملاحظه می‌گردد، با افزایش ضخامت تیرک وی-شکل، نیروی بحرانی منیپولیشن افزایش زیادی می‌یابد و بیانگر تأثیر بزرگ زمان پارامتر بر نیروی بحرانی منیپولیشن است. همچنین افزایش ضخامت تیرک منجر به کاهش کم و نسبتاً خطی زمان بحرانی منیپولیشن می‌شود.

همان‌گونه که در شکل (3-خ) و (3-د) می‌توان مشاهده کرد، با افزایش ارتفاع سوزن تیرک وی-شکل، نیروی بحرانی منیپولیشن تغییر چندانی نمی‌کند و بیانگر تأثیر بسیار کم این پارامتر بر نیروی بحرانی منیپولیشن است.

در شکل (3-ذ) و (3-ر) نشان داده شده است که با افزایش فاصله‌ی سوزن از انتهای تیرک وی-شکل، نیرو و زمان بحرانی منیپولیشن کاهش سیار کمی می‌یابند و بیانگر تأثیر بسیار کم این پارامتر بر نیرو و زمان بحرانی منیپولیشن است. در تمام موارد شکل 3، همان‌طور که در شکل 4 قابل مشاهده است، نتایج به دست آمده با نتایج موجود برای تیرک مستطیلی مطابقت می‌کند.

2-3- آنالیز حساسیت ابعادی تیرک وی-شکل با استفاده از روش ای-فست

شکل (5-الف) و (5-ب) به ترتیب تأثیر پارامترهای مختلف تیرک وی-شکل شامل طول تیرک، عرض تیرک، ضخامت تیرک، ارتفاع سوزن، زاویه‌ی تیرک و فاصله‌ی سوزن از انتهای تیرک بر زمان و نیروی بحرانی منیپولیشن با استفاده از روش ای-فست را نشان می‌دهد. همان‌طور که از شکل (5-الف) مشخص است مهم‌ترین پارامتری که زمان بحرانی مربوط به تیرک وی-شکل را مورد تأثیر قرار می‌دهد، ارتفاع سوزن است که به میزان 70 درصد بر زمان بحرانی تأثیر دارد و بعدازآن به ترتیب زاویه با 14 درصد، طول تیرک با 8 درصد و عرض تیرک با 5 درصد تأثیر، پارامترهای بعدی حساس هستند و دو پارامتر دیگر تقریباً بر زمان بحرانی بی‌تأثیر هستند.

در شکل (5-ب) نمودار آنالیز حساسیت ابعادی برای نیروی بحرانی نمایش داده شده است. همان‌طور که مشخص است در این حالت ضخامت تیرک با 72 درصد تأثیر، مهم‌ترین پارامتر تأثیرگذار است و بعدازآن طول تیرک با 16 درصد و عرض تیرک با 10 درصد تأثیر، پارامترهای بعدی اثرگذار می‌باشند. از تأثیر پارامترهای دیگر می‌توان چشمپوشی کرد.

با مقایسه شکل (5-ب) با شکل (5-ب) می‌توان مشاهده کرد که در تیرک وی-شکل نیز همانند تیرک مستطیلی، ضخامت تأثیرگذارترین پارامتر بر نیروی بحرانی است.

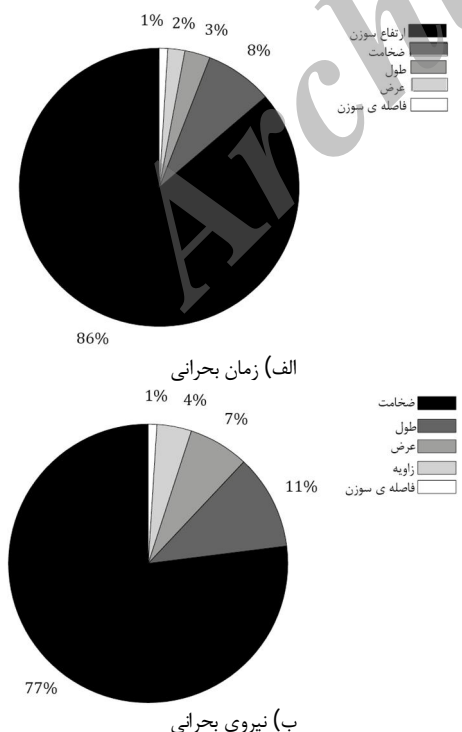
3- آنالیز حساسیت تیرک خنجری

در این بخش همانند قسمت قبل بعد از بشمردن پارامترهای هندسی مهم در تیرک خنجری، به آنالیز حساسیت این پارامترها پرداخته شده و نتایج حاصل با نتایج موجود برای تیرک‌های مستطیلی [4] مقایسه شده و صحت نتایج بررسی شده است. این پارامترها عبارت‌اند از طول تیرک (L)، عرض تیرک (W)، ضخامت تیرک (t)، ارتفاع سوزن (h)، زاویه‌ی تیرک (α) و فاصله‌ی سوزن از انتهای تیرک (d). در نمودارهای شکل 7 تأثیر هرکدام از این پارامترها را بر زمان و نیروی بحرانی می‌توان مشاهده کرد.

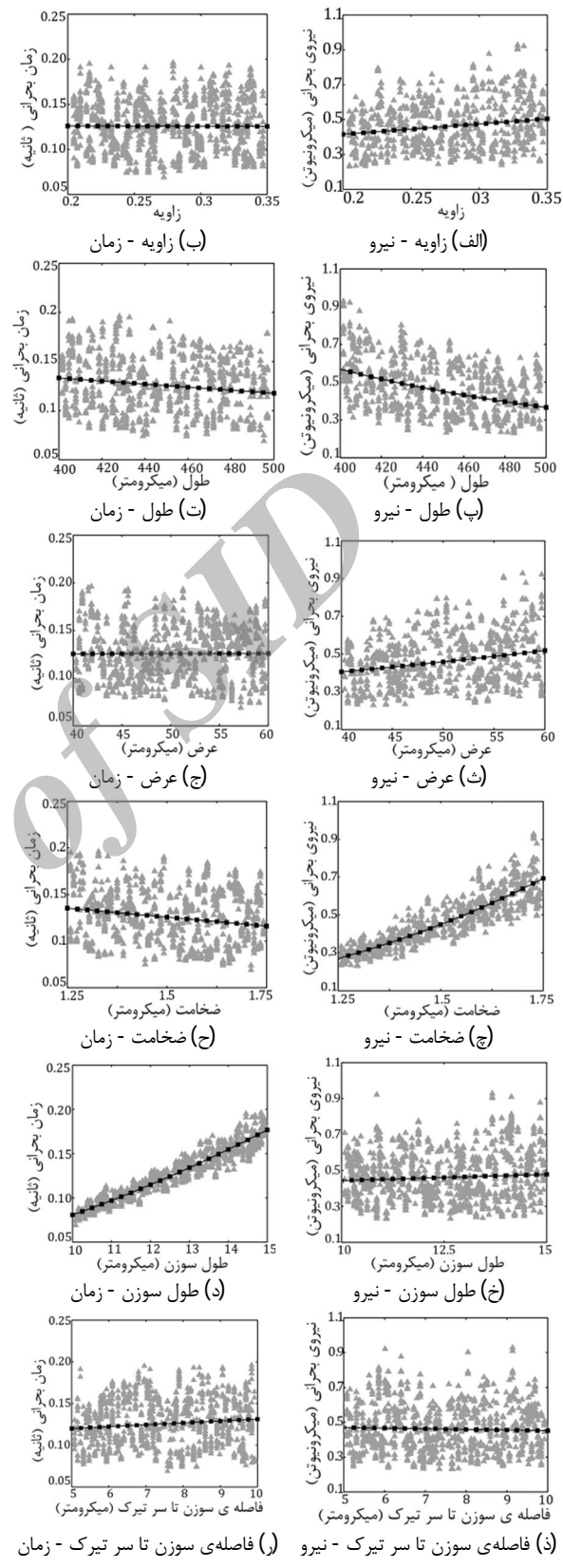
است. در شکل (7-پ) و (7-ج) نشان داده شده است که با افزایش طول تیرک خنجری شکل، نیرو و زمان بحرانی منیپولیشن به طور خطی کاهش می‌یابند که این نتایج با نتایج موجود برای تیرک‌های وی-شکل مطابقت دارد. همان‌گونه که در شکل (7-ث) و (7-ج) ملاحظه می‌گردد، با افزایش عرض تیرک خنجری شکل، نیروی بحرانی منیپولیشن به طور خطی افزایش می‌یابد، که این نتایج با نتایج موجود برای تیرک‌های وی-شکل مطابقت دارد و زمان بحرانی تقرباً ثابت است. در شکل (7-ج) و (7-ج) می‌توان مشاهده کرد که با افزایش ضخامت تیرک خنجری شکل، نیروی بحرانی منیپولیشن افزایش زیادی می‌یابد و بیانگر تأثیر بسیار زیاد این پارامتر بر نیروی بحرانی منیپولیشن است، که این نتایج با نتایج موجود برای تیرک‌های وی-شکل مطابقت می‌کند. همچنین افزایش ضخامت تیرک منجر به تغییر محسوسی در زمان بحرانی منیپولیشن نخواهد شد. همان‌گونه که در شکل (7-خ) و (7-د) ملاحظه می‌گردد، با افزایش ارتفاع سوزن تیرک خنجری شکل، نیروی بحرانی منیپولیشن تغییر چندانی نمی‌کند و بیانگر تأثیر بسیار کم این پارامتر بر نیروی بحرانی منیپولیشن است، که این نتایج نیز با نتایج موجود برای تیرک‌های وی-شکل مطابقت دارد. همان‌گونه که در شکل (7-ذ) و (7-ر) ملاحظه می‌گردد، با افزایش فاصله‌ی سوزن از انتهای تیرک خنجری شکل، نیرو و زمان بحرانی منیپولیشن تغییر بسیار کمی می‌کند و بیانگر تأثیر بسیار کم این پارامتر بر نیرو و زمان بحرانی منیپولیشن است. از مقایسه‌ی نتایج شکل 7 با شکل 4 که نتایج موجود برای تیرک مستطیلی را نشان می‌دهد، می‌توان به صحت نتایج فوق پی برد.

4-3 آنالیز حساسیت ابعادی تیرک خنجری شکل با استفاده از روش ای-فست

شکل (8-الف) و (8-ب) به ترتیب تأثیر پارامترهای مختلف تیرک خنجری شکل شامل طول تیرک، عرض تیرک، ضخامت تیرک، ارتفاع سوزن، زاویه‌ی تیرک و فاصله‌ی سوزن از انتهای تیرک بر زمان و نیروی بحرانی منیپولیشن با استفاده از روش ای-فست را نشان می‌دهد.



شکل 8 تأثیر پارامترهای تیرک خنجری شکل در زمان بحرانی و نیروی بحرانی



شکل 7 آنالیز حساسیت تیرک خنجری

همان‌گونه که در شکل (7-الف) و (7-ب) ملاحظه می‌گردد، با افزایش زاویه‌ی تیرک خنجری شکل، نیروی بحرانی منیپولیشن به طور خطی افزایش می‌یابد، در حالی که افزایش زاویه‌ی تیرک منجر به کاهش نسبتاً کم زمان بحرانی منیپولیشن می‌شود و بیانگر تأثیر کم این پارامتر بر زمان بحرانی منیپولیشن

طول قسمت مستطیلی تیرک	L_{II}
پارامتر متغیر	s
شاخص حساسیت کلی	ST_i
ضخامت تیرک	t
واریانس	V
عرض تیرک	w
فاکتورها	x_i
زاویه‌ی سر تیرک	علامه یونانی
ضریب پواسون	α
مشخص کنندهٔ نقطه‌ی شروع منحنی	η_i
فرکانس‌های مربوط به فاکتور	ω_i
زیرنویس‌ها	Dagger
خرجی	Desmosomes
دیزموزوم	HK
اچ-کی	LuGre
لاگره	V-shaped
وی-شکل	

6- مراجع

- [1] R. Yang, N. Xi, C. Kar, M. Fung, K. Wai, and C. Lai., Analysis of keratinocytes stiffness after desmosome disruption using atomic force microscopy based nanomanipulation, *In Nanotechnology, 9th IEEE Conference on*, pp. 640-643, 2009.
- [2] T. Hertel, R. Martel, and P. Avouris, Manipulation of individual carbon nanotubes and their interaction with surfaces, *The Journal of Physical Chemistry B*, vol. 102, pp. 910-915, 1998.
- [3] M. H. Korayem, M. Taheri, and M. Zakeri, Sensitivity analysis of nanoparticles manipulation based on different friction models, *Applied Surface Science*, vol. 258, pp. 6713-6722, 2012.
- [4] M. H. Korayem, M. Taheri, and Z. Rastegar, Sobol method application in sensitivity analysis of LuGre friction model during 2D manipulation, *Accepted in Scientia Iranica*.
- [5] M. H. Korayem and M. Zakeri, The effect of off-end Tip distance on the nanomanipulation based on rectangular and V-shape cantilevered AFMs, *The International Journal of Advanced Manufacturing Technology*, vol. 50, pp. 579-589, 2010.
- [6] M. H. Korayem, M. Taheri, modeling of various contact theories for the manipulation of different biological micro/nanoparticles based on AFM," *Journal of nano particle research*, Vol. 16, No. 1, pp. 1- 13.
- [7] M. H. Korayem, H. Khaksar, M. Taheri, Modeling of contact theories for the manipulation of biological micro/nanoparticles in the form of circular crowned rollers based on the atomic force microscope, *Journal of Applied Physics*, Vol. 114, No. 3, pp. 1- 13, 2013.
- [8] K. Daeinabi, M. H. Korayem, and S. A. Yarijani, Force transducer modelling Of rectangular, V-Shaped, And dagger cantilever probes based On atomic force microscopy, *Instrumentation Science & Technology*, vol. 40, pp. 338-354, 2012.
- [9] J. E. Sader and C. P. Green, In-plane deformation of cantilever plates with applications to lateral force microscopy, *Review of scientific instruments*, vol. 75, pp. 878-883, 2004.
- [10] A. Saltelli and I. M. sobol, about the use of rank transformation in sensitivity analysis of model output, *Reliability Engineering & System Safety*, vol. 50, pp. 225-239, 1995.
- [11] A. Saltelli, K. Chan, and E. Scott, sensitivity analysis Wiley series in probability and statistics, *Willey*, New York, 2000.
- [12] R. Cukier, H. Levine, and K. Shuler, Nonlinear sensitivity analysis of multiparameter model systems, *Journal of computational physics*, vol. 26, pp. 1-42, 1978.
- [13] A. Saltelli, S. Tarantola, and K.-S. Chan, A quantitative model-independent method for global sensitivity analysis of model output," *Technometrics*, vol. 41, pp. 39-56, 1999.

همان‌طور که در شکل (8-الف) مشخص است همانند تیرک وی-شکل در این تیرک نیز ارتفاع سوزن با 88 درصد تأثیر، بیشترین اثر را در زمان بحرانی دارد و بعدازآن ضخامت تیرک با 6 درصد و طول تیرک با 3 درصد مؤثر هستند و از تأثیر پارامترهای دیگر می‌توان صرف‌نظر کرد.
با مقایسه شکل‌های (8-ب) و 6 مشخص می‌گردد که ضخامت تیرک در تیرک‌های خنجری شکل نیز مانند تیرک‌های مستطیلی شکل با 77 درصد تأثیر، پارامتر اصلی تأثیرگذار در نیروی بحرانی منیپولیشن است و بعدازآن طول تیرک با 11 درصد، عرض تیرک با 7 درصد و زاویه‌ی تیرک با 4 درصد تأثیر، پارامترهای مؤثر بعدی هستند. در حالی که از تأثیر سایر پارامترها بر نیروی بحرانی نیز می‌توان صرف‌نظر کرد.

4- بحث و جمع‌بندی

نیرو و زمان بحرانی منیپولیشن دو پارامتر مهم و اثرگذار بر منیپولیشن می‌باشند. مقدار نیرو از دو جنبه حائز اهمیت است، ابتدا این که مقدار آن از حدی فراتر نرود که به نانوذره آسیب برساند (یه خصوص در موقعی که مشخص کنندهٔ هدف زیستی باشد). و دیگری این که، این مقدار نیرو تا حدی متداول از تیرک‌ها و محاسبه‌ی نیروی بحرانی منیپولیشن، این نتیجه به دست آمد که تیرک خنجری با توجه به کمتر بودن مقدار نیروی بحرانی مربوط به آن برای جابه‌جایی ذرات حساس زیستی مناسب‌تر است.

هم‌چنین بعد از بررسی پارامترهای هندسی حساس‌تیرک‌ها بر نیروی بحرانی منیپولیشن، می‌توان به این نتیجه رسید که در تیرک وی-شکل ضخامت بیشترین تأثیر را بر نیروی بحرانی داشته و بعدازآن به ترتیب طول و عرض تیرک می‌باشد و از تأثیر پارامترهای دیگر می‌توان صرف‌نظر کرد.
در تیرک خنجری نیز ضخامت بیشترین تأثیر را در مقدار نیروی بحرانی دارد و بعدازآن به ترتیب طول، عرض و زاویه‌ی تیرک مؤثر هستند و از تأثیر پارامترهای دیگر می‌توان چشم‌پوشی کرد.

در مورد پارامترهای حساس‌تیرک بر زمان بحرانی منیپولیشن نیز می‌توان نتیجه گرفت که در تیرک وی-شکل طول سوزن بیشترین تأثیر را بر زمان بحرانی دارد و بعدازآن زاویه، طول و عرض تیرک مؤثر هستند و از تأثیر پارامترهای دیگر می‌توان چشم‌پوشی کرد. در تیرک خنجری نیز طول سوزن بیشترین تأثیر را در زمان بحرانی منیپولیشن دارد و بعدازآن ضخامت و طول تیرک مؤثر هستند و از تأثیر پارامترهای دیگر می‌توان چشم‌پوشی کرد.

5- فهرست علامه

ضرایب فوریه	A_j
ضرایب فوریه	B_j
فاصله‌ی سوزن از سر تیرک	d
مدول الاستیسیته	E
توابع انتقال	G
طول سوزن	h
سختی جانبی	K_y
سختی عمودی	K_z
سختی پیچشی	K_θ
طول تیرک	L
طول قسمت مثلثی تیرک	L_I